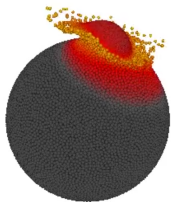


# Hydrodynamické a N-částicové simulace srážek asteroidů

Pavel Ševeček, Miroslav Brož

Astronomický ústav, Univerzita Karlova v Praze

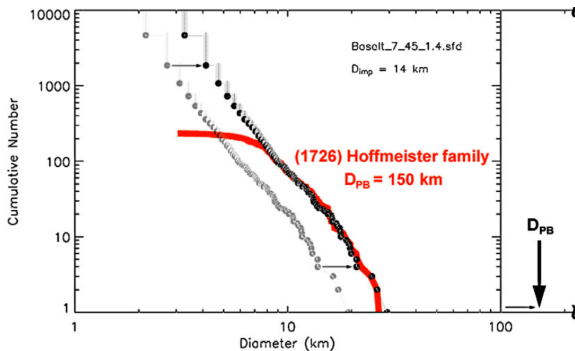


# Dynamika hlavního pásu

- srážky asteroidů hrají důležitou roli v evoluci hlavního pásu
- rozpad asteroidu → asteroidální rodina
- observační data:
  - rozdělení velikostí (SFD)
  - rychlostní pole, ...
- hmotnost mateřského tělesa  $\neq$  součet hmotností členů  
**observační neúplnost**
- SFD se mění s časem (kolizní evoluce, Jarkovského drift)  
pro studium rozpadu potřebujeme mladé rodiny  $< 10$  Myr
- laboratorní experimenty není možné porovnat →  
**numerické modely**
- výsledky numerických modelů: určení velikosti mateřského tělesa, parametrické relace do Monte Carlo modelů evoluce hlavního pásu, ...

# Určení velikosti mateřského tělesa

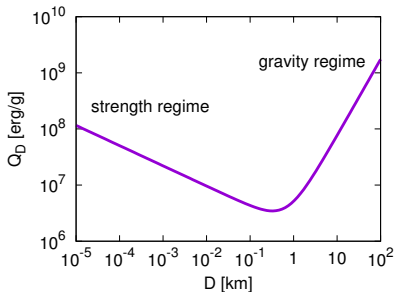
- Durda et al. (2007) — sada simulací se 100 km tělesy
- nejlepší fit pozorovaného SFD
- uvážení observační neúplnosti
- posun SFD → předpoklad **lineárního** škálování



Durda et al. (2007)

# Rozdíl mezi 1 km a 100 km mateřskými tělesy

- škálování zákon  $\rightarrow$  1 km tělesa jsou méně pevná
- stejné  $Q/Q_D^*$   $\rightarrow$  **relativně** menší projektily



- pro malé rodiny lze škálovat výsledky 1 km tělesa nahoru a 100 km tělesa dolů

# Numerický model vzniku asteroidálních rodn

- složitá fyzika — nelineární stavová rovnice, šíření prasklin v tělese, self-gravitace, ...
- potřebný časový krok: Courantovo kritérium

$$\Delta t \leq \frac{\Delta x}{c_s} \simeq 10^{-3} \text{ s}$$

- čas potřebný na reakumulaci  $\sim 10$  dnů
- celkový čas simulace:  $10^9$  kroků  $\sim 10^5$  dnů

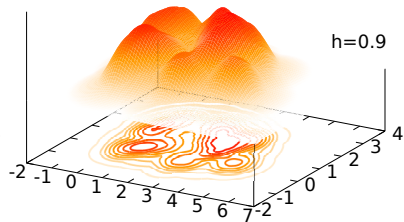
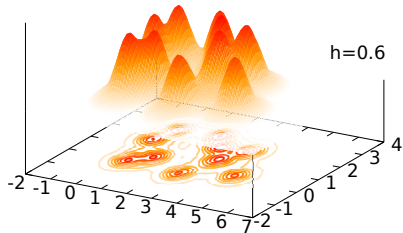
→ **hybridní řešení** – SPH + N-částicový integrátor

$$t_{\text{fragmentace}} \equiv \frac{D_{\text{pb}}}{c_s} \ll t_{\text{reakumulace}} \equiv \sqrt{\frac{1}{G\rho}}$$

# Metoda shlazených částic (SPH)

- hustota dána shlazením bodových částic

$$\rho(\mathbf{r}) = \sum_{i=1}^N m_i W(\mathbf{r} - \mathbf{r}_i, h)$$



- gradient veličiny  $\nabla A(\mathbf{r})$ :

$$\nabla A(\mathbf{r}) = \sum_{i=1}^N \frac{m_i}{\rho_i} A_i \nabla W(\mathbf{r} - \mathbf{r}_i, h)$$

# Hydrodynamické rovnice v SPH diskretizaci

- pohybová rovnice

$$m_i \frac{d\mathbf{v}_i}{dt} = - \sum_j m_i m_j \left( \frac{\boldsymbol{\sigma}_i}{\rho_i^2} + \frac{\boldsymbol{\sigma}_j}{\rho_j^2} \right) \cdot \nabla W(\mathbf{v}_i - \mathbf{r}_j, h)$$

- energetická rovnice

$$\frac{du_i}{dt} = \frac{P_i}{\rho_i^2} \sum_j m_j (\mathbf{v}_i - \mathbf{v}_j) \cdot \nabla W(\mathbf{r}_i - \mathbf{r}_j, h) + \frac{1}{\rho_i} \mathbf{S}_i : \dot{\boldsymbol{\epsilon}}_i$$

- konstituční rovnice – **Hookův zákon**

$$\frac{d\mathbf{S}_i}{dt} = 2\mu \left( \dot{\boldsymbol{\epsilon}}_i - \frac{1}{3} \text{Tr} \dot{\boldsymbol{\epsilon}}_i \right)$$

# SPH simulace impaktu



# Výhody a nevýhody metody SPH

- + lagrangeovský popis přirozený pro fragmentaci
- + celková hybnost a energie systému se zachovává
- + snadná implementace složitější fyziky
- problém rozlišení rázových vln  
→ **umělá viskozita**

$$\Pi = -\alpha \rho l c_s \nabla \cdot \mathbf{v} + \beta \rho l^2 (\nabla \cdot \mathbf{v})^2$$

- numerické nestability

# Umělá viskozita

$$\alpha = 0$$

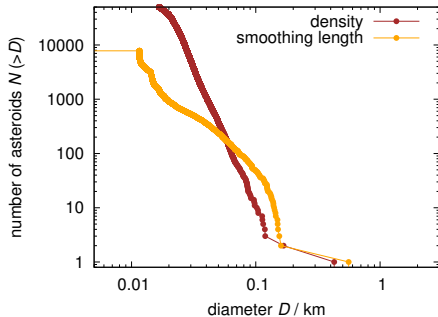
$$\alpha = 4.5$$

# Předání N-částicovému integrátoru

- je třeba převést SPH částice na koule
- shlazovací délka  $h \xrightarrow{?}$  poloměr koule  $R$
- Durda et al. (2007) –  $R \equiv h/3$
- Nesvorný et al. (2006) – konstantní hustota  
 $\rho = 2700 \text{ kg/m}^3$

- Michel et al. (2002) –  $R$   
podle místní hustoty:

$$R \equiv \left( \frac{3m}{4\pi\rho} \right)^{\frac{1}{3}}$$



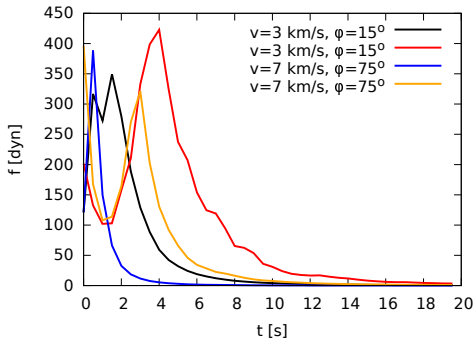
# N-částicový integrátor

- kód `pkdgrav` (Richardson et al. 2000)
- stromová struktura – gravitační momenty vzdálených buněk namísto interakce každé dvojice částic
- srážky částic – dokonalé spojování  $\rightarrow$  ztráta informace o tvaru
- reakumulace  $\rightarrow$  rozdělení velikostí, rychlostní pole

# N-částicový integrátor

## Doba fragmentace

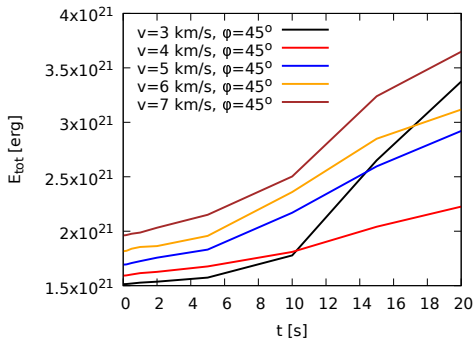
- Rázová vlna musí projít asteroidem ( $\sim 1$  s)
- Tlak musí klesnout k nule ( $\sim 20$  s)
- Průměrné síly v tělese:



- ale ...

## Problémy s fragmentací

- za 20 s se i při nízkoenergetickém impaktu terč zcela rozpadne
- neodpovídá škálovacímu zákonu!
- nezachovává se celková energie



## Pokračování

- vyřešit divergenci energie při fragmentaci
- tahová nestabilita? Řeší se:
  - přidáním **umělého tlaku**
  - průměrováním rychlostí sousedních částic

$$\frac{d\mathbf{r}_i}{dt} = \mathbf{v}_i \longrightarrow \frac{d\mathbf{r}_i}{dt} = \mathbf{v}_i + \sum_j \frac{m_j}{\bar{\rho}} (v_j - v_i) W(\mathbf{r}_i - \mathbf{r}_j)$$

- spočítat sadu simulací pro  $D_{pb} = 1$  km
- nalézt parametrické relace pro výpočet největšího zbytku  $M_{lr}$  a sklonu SFD  $q$